

道都短期大学建設科 正会員 斎井 明
 北海道大学工学部 渡邊慶輝
 北海道大学工学部 中島 崑

1. はじめに

一般にコンクリート材料の凝結度は、材令に応じて高くなる。事実その圧縮強度は材令に応じて増大する。コンクリート材の凝結の度合いが異なれば、破壊に至る過程でクラックの挙動も違ってくるものと考えられる。

本研究では、材令の異なるコンクリート材料の一軸圧縮試験を行ない、破壊に至る過程で生ずる微小破壊現象をAE手法(Acoustic Emission Techniques)を用いて調べた。この結果、破壊に至る過程でのAE活動と材令との関係が明らかになった。

以下、コンクリートの一軸圧縮試験におけるAEの計測方法と計測結果について述べる。

2. 一軸圧縮試験におけるAEの計測方法

本試験に用いたAE計測システムをFig.1に示す。このシステムはDunegan/Endevco社製のユニットと丸文社製のシグナルプロセッサーを組合せたものである。

Fig.1において高周波用トランスデューサーと1つはS140B(共振周波数140KHz)を、低周波用としては5200M5(応答周波数2~3000Hz±3%)を用いた。これらのトランスデューサーは円柱供試体($\varnothing 15 \times 30\text{cm}$)の側面に取り付け金具を用いて固定した。トランスデューサーにより検出されたAE信号はフリアンアンプ(マイアンプ)で増幅されたあと、シグナルコンディショナーでデジタルパルスに変換され、シグナルプロセッサーに入力される。更に、コンクリート供試体の荷重ヒズみは、それを専用の変換器で検出されたあと、ストレインメーターを通じてシグナルプロセッサーに入力される。したがってシグナルプロセッサーではAE、荷重およびひずみの信号が一括処理され、それらの相互関係が表示される。なお、このAE計測システムは、イベント数やアンスリュードの分析機能をも有しており、材令に応じてこれらの計測を行なった。

供試体のコンクリートはC:S:G:W=4.0:2.0:2.9:0.55の配合比で、練り上げ後24時間で脱型し水中養生した。

圧縮試験に当たっては、供試体の端面にイオウ・キッシュビングを施し加压板との間にテフロンシートを介した。

3. 実験結果および考察

試験は28日、91日、155日の各材令について4個ずつ行なった。これらの平均圧縮強度はそれぞれ 258 ± 20 , 298 ± 21 , $335 \pm 9 \text{ kg/cm}^2$ (25 ± 2 , 29 ± 2 , $33 \pm 1 \text{ MPa}$)であった。AE活動の計測結果は今回の試験とも同様な傾向を示した。Fig.2-Fig.3およびFig.4-Fig.5は高周波用と低周波用のトランスデューサーによるAE計測例で各材令の代表的な結果である。Fig.2, Fig.4では応力-ひずみ線図に、50strain毎に累積したAEカウント数が、Fig.3, Fig.5では応力-ひずみ線図に、10kg/cm²の応力毎に累積したAEカウント数がヒストグラムで示されている。

いま、Fig.2において、ひずみとAEカウントの関係をみると、材令が28日ではAEは破壊前に多少増加していくものの、全般的に発生していない。材令が91日と155日ではヒストグラムの形状は類似しており、ひずみと筋肉の初期と後期に目立った活動が現われている。初期の活動は、加压板と供試体端面との接触の問題があり、これが内部の破壊現象として取扱うことは困難である。後期の活動については、応力-ひずみ線図の変化に対応しており、破壊直前に内部で微小破壊が進行したことがあわかる。

次にFig.3において、応力比とAEの関係をみると、材令にかかわらず破壊応力の70~80%付近よりカウント数は増加し、材令が進む程50%前後の変動は少なくなつてゆく傾向がある。

Fig.4において、材令28日では応力-ひずみ曲線が直線的な部分に対応してAEは少なく直線関係より入力外

れる附近より増加し破壊直前に急増する。91日では直線的で初期の段階からAEの発生量は著しく、その後は急に減少し破壊時に多少発生しているものの、28日の場合とは全く反対の傾向を示している。155日の場合、低周波のAE活動は皆無である。

Fig.5においては、材令28日では発生量の大半が破壊应力の20%以上に集中しているのに対し、91日では50%以下である。

以上の結果を総合すると、AE活動は一般に材令の若い段階において活発であるといえよう。このことは割線ヤング率が低く凝結度の低い段階におけるAE活動が活発なことを示している。

4. まとめ

各材令の供試体におけるAE活動には、それぞれ特徴があるが、これはコンクリートの凝固の度合いに応じておきた微小破壊現象であるとみなされる。特に、材令が進むにつれて低周波のAE活動は著しく減少するが、この理由については微小破壊の発生様式を検討することにより解明する必要があると思われる。

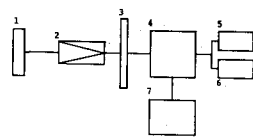


Fig.1 Block diagram of instrumentation
1.transducer 2.pre-amplifier 3.filter
4.signal conditioner 5.oscilloscope
6.audio monitor 7.signal processor

Fig.1 Block diagram of instrumentation

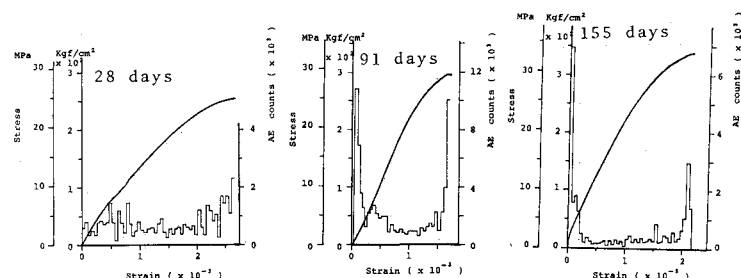


Fig.2 Acoustic emission of high frequency and stress vs. strain in the compressive test on concrete

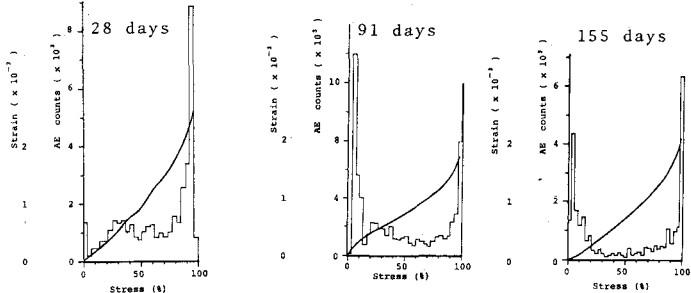


Fig.3 Acoustic emission of high frequency and strain vs. stress (%) in the compressive test on concrete

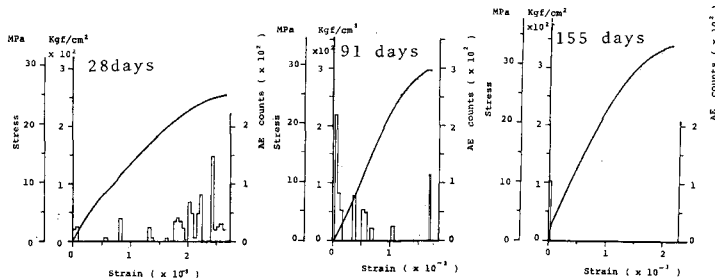


Fig.4 Acoustic emission of low frequency and stress vs. strain in the compressive test on concrete

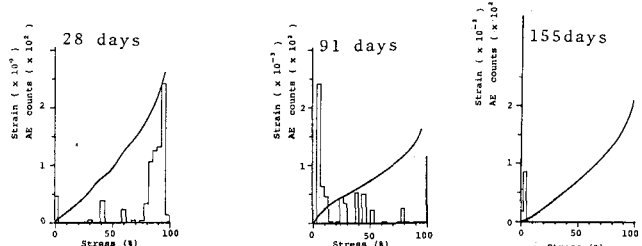


Fig.5 Acoustic emission of low frequency and strain vs. stress (%) in the compressive test on concrete